

## **4 Algoritmo de Multi-resolução Proposto para RNPs**

Este capítulo tem por objetivo propor um modelo de multi-resolução para RNPs, levando em consideração as características geométricas das malhas de simulação, a vizinhança IJK entre células, as propriedades escalares associadas a cada célula do reservatório e as características de visualização discutidas anteriormente.

O MMR é proposto na Seção 4.1, a Seção 4.2 detalha a operação local utilizada pelo modelo e a Seção 4.3 faz algumas considerações a respeito da estrutura de MR utilizada.

### **4.1 Hierarquia de Células Hexaédricas**

Visando atender adequadamente às características de visualização descritas na Seção 3.4, o modelo de MR adotado é hierárquico, possuindo as características de indexação espacial e agrupamento com coerência espacial encontradas na maioria dos MMRHs, em particular, em [Gar98]. A célula hexaédrica foi utilizada como base do modelo proposto devido à sua importante semântica.

Para permitir a extração de malhas adaptativas sem causar a diminuição do poder de expressão do MMRH, são permitidas aberturas e pequenas interseções entre as células nas aproximações geradas. Isso pode alterar a topologia da malha de simulação

original, mas não é um fato crítico devido à existência típica de degraus e falhas nas malhas.

Apesar do algoritmo proposto se basear na vizinhança IJK, ele não segue uma hierarquia pré-definida, a exemplo da *octree*. As células são colapsadas em função do custo (erro) do colapso.

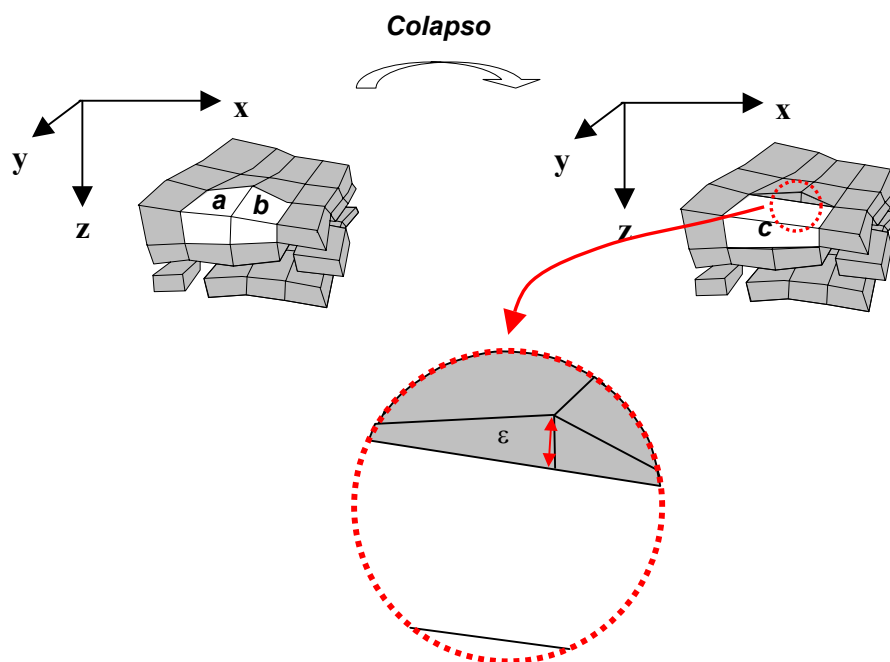
Inspirado nas técnicas de baixo para cima (*bottom-up*) incrementais de simplificação, normalmente relacionadas a MMRRs, o algoritmo de construção da estrutura hierárquica de multi-resolução aqui proposto consiste na escolha de uma série de operações incrementais que formam um histórico de operações, o qual, a exemplo das malhas progressivas [Hop96], leva do modelo mais refinado do reservatório até o seu modelo menos refinado. A partir deste histórico é possível identificar as dependências cronológicas entre operações e codificá-las através de uma árvore.

#### 4.1.1 Colapso de Células

A operação utilizada pelo algoritmo proposto neste trabalho é uma operação de simplificação. Ela recebe duas células,  $a$  e  $b$ , que abrangem a região do espaço  $(a \cup b)$ , e retorna uma nova célula,  $c$ , e o erro,  $\epsilon$ , associado à substituição de  $a$  e  $b$  por  $c$  (Figura 4.1). A esta aproximação no espaço geométrico está relacionada a propriedade no espaço paramétrico:

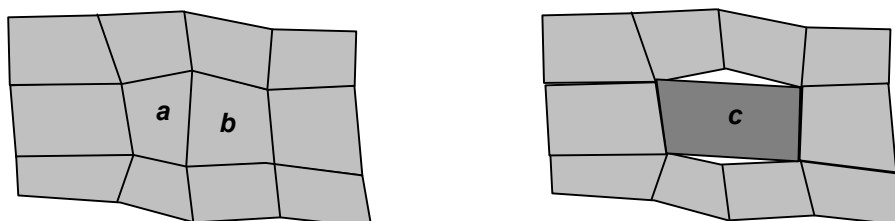
$$dom(c) = dom(a \cup b), \quad P.4.1$$

A operação é denominada **colapso de células**, ou simplesmente **colapso**, e as células geradas por ele são denominadas **macro-células**.



**Figura 4.1 - Operação incremental de colapso.** O colapso calcula a geometria da macro-célula, à direita, a partir das duas células, à esquerda. O erro  $\varepsilon$ , que nesta ilustração é o próprio erro geométrico, é associado ao colapso.

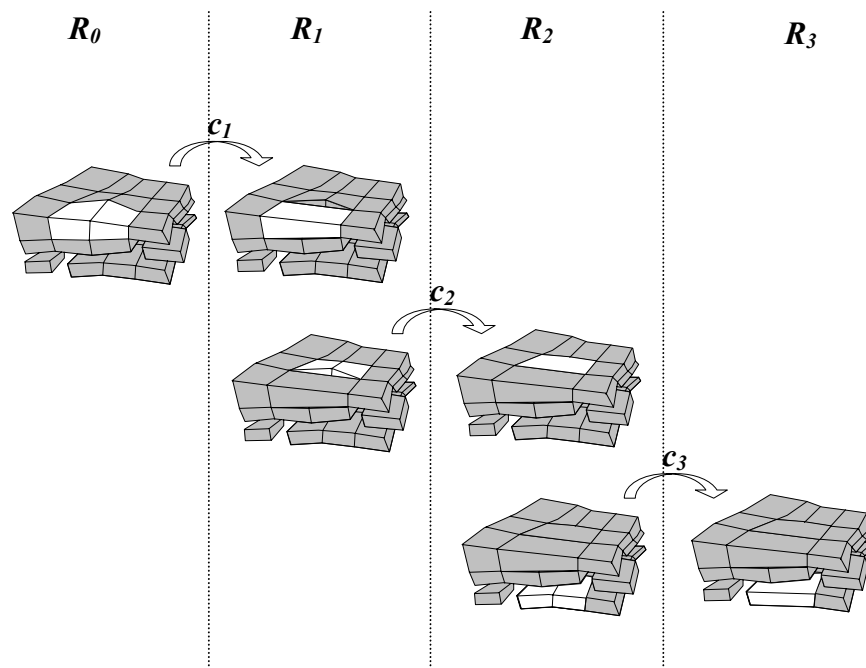
A Figura 4.2 mostra um exemplo bidimensional de abertura oriundo de uma operação de colapso.



**Figura 4.2 - Versão bidimensional da operação de colapso.** A operação altera a borda de  $(a \cup b)$  e, portanto, como neste exemplo, pode modificar a topologia fora do domínio ao qual é aplicada.

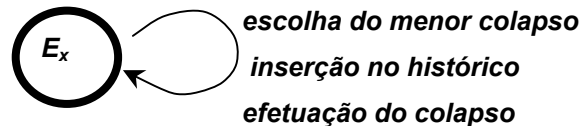
#### 4.1.2 Algoritmo Guloso para Construção do Espaço de Modelos

O algoritmo proposto para a construção do espaço de modelos gerencia a construção de um histórico cronológico de operações de colapso, que são efetuadas uma a uma, levando a diferentes aproximações do reservatório que variam localmente uma da outra (Figura 4.3). Para criá-lo é utilizado um algoritmo guloso que iterativamente seleciona o colapso de menor erro.



**Figura 4.3 – Histórico.** O histórico  $\{c_1, c_2, c_3\}$  leva, a partir  $R_0$ , a mais três representações distintas do reservatório:  $R_1, R_2, R_3$ .

O algoritmo, em alto nível, pode ser especificado através da máquina de estado ilustrada na Figura 4.4. O estado inicial,  $E_0$ , é formado pelo reservatório original,  $R_0$ , e por um histórico vazio,  $\emptyset$ . Após a escolha do colapso de menor custo, a inserção deste no histórico e a efetuação do colapso, tem-se o próximo estado,  $E_1$ , que é formado por uma aproximação  $R_1$  do reservatório original e por um histórico que, agora, contém um colapso a mais,  $\{c_1\}$  (Figura 4.6). O algoritmo continua até que não existam mais colapsos a serem efetuados.



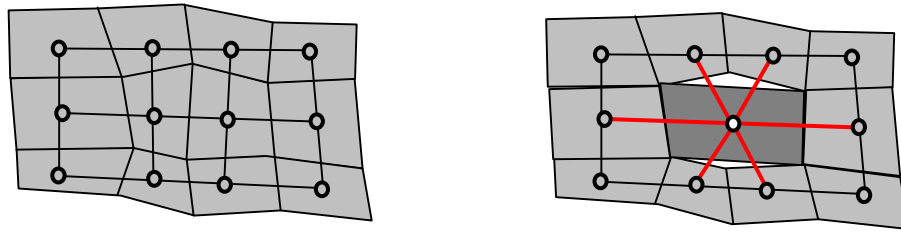
**Figura 4.4 - Máquina de estado que representa o algoritmo guloso.**

Dado um reservatório com  $n$  células, o número total de colapsos possíveis, sem considerar a vizinhança IJK, é  $n^2$ . Entretanto, considerando a vizinhança, que é explicitada pelo grafo de adjacência  $A$ , este número é próximo de  $3n$ , nunca excedendo-o. Uma vez que células vizinhas estão próximas no espaço geométrico, os colapsos entre elas possuem os menores erros, sendo provavelmente os mais relevantes para o algoritmo.

Assim,  $A$  pode ser interpretado de uma nova forma: seus nós continuam representando células, mas, agora, seus arcos representam colapsos e a cada arco está associado um custo que corresponde ao erro atribuído ao colapso.

Para extrair eficientemente de  $A$  o arco de menor custo, pode-se utilizar uma fila de prioridades, particularmente um *heap*, onde cada elemento é um arco. O *heap* pode ser criado em tempo linear no número de arcos  $a$  [Cor90]. Operações de extração do arco de menor custo e atualização de um elemento podem ser feitas em  $O(\log a)$ .

Devido à localidade da operação de colapso, a cada iteração do algoritmo, são necessárias apenas alterações locais nas estruturas de  $A$  e do *heap* para mantê-las consistentes com o próximo estado do algoritmo. A efetuação de um colapso faz com que o grafo de adjacência seja alterado e que um novo nó, que representa a macro-célula, seja criado, herdando a vizinhança dos nós colapsados (Figura 4.5). Assim, é necessário atualizar a vizinhança do novo nó recalculando custos. Isto pode ser feito em tempo proporcional ao grau  $g$  do novo nó. Além disso, é necessário tornar o *heap* consistente e atualizar os elementos cujos custos foram modificados. Isto pode ser feito em  $O(g \log a)$ .



**Figura 4.5 – Vizinhança.** O novo nó herda a vizinhança dos nós colapsados. O grau do novo nó é igual à soma dos graus dos nós colapsados menos os colapsados que se tornaram redundantes menos 1.

Neste momento, vale fazer uma observação relativa à propriedade INAT, que indica se uma célula é ativa ou inativa. Como foi visto no Capítulo 3, a geometria e os valores de propriedade associados a uma célula inativa devem ser desprezados, fato este que levaria à existência de colapsos inócuos. Isso é evitado pelo algoritmo através de uma modificação no grafo  $A$ : se uma célula é vizinha de uma célula inativa, esta vizinhança é alterada de forma que a nova vizinha seja a próxima célula ativa naquela direção. Dessa forma, alguns colapsos são eliminados e o número de arcos  $a$  do grafo passa a ser próximo a  $3n'$ , onde  $n'$  é o número de células ativas.

O pseudo-código do algoritmo é o seguinte:

```

1° passo: constrói o grafo de adjacência eliminando células inativas //O( $n$ )
2° passo: constrói o heap //O( $a$ )
3° passo: constrói o histórico vazio //O(1)
4° passo: enquanto houver colapsos
{
    extrai o menor colapso //O( $\log a$ )
    atualiza o grafo de vizinhança //O( $g$ )
    atualiza o heap //O( $g \log a$ )
    insere no histórico //O(1)
}

```

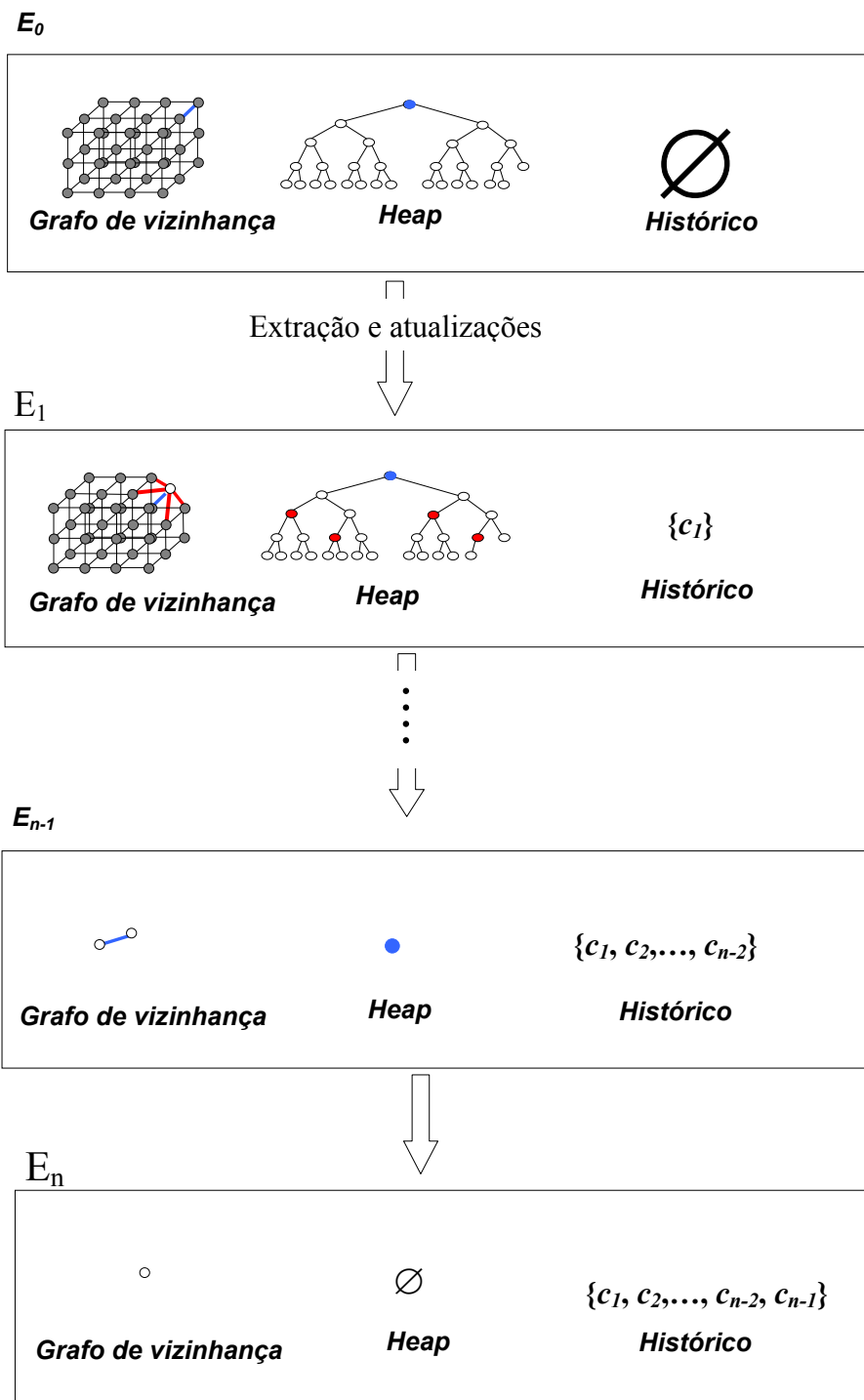
Como  $n$  difere de  $n'$  pela soma de uma constante e, uma vez que  $a$  é proporcional a  $n'$ , a complexidade<sup>9</sup> final do algoritmo é  $O(n' \log n')$ , desde que a variável  $g$  seja limitada superiormente por uma constante. Para isso, o algoritmo controla o grau dos

nós do grafo de adjacência durante a iteração. Assim, todo colapso que geraria um novo nó com grau acima de um valor limite  $G$  é proibido de ser efetuado, recebendo um custo elevado.

Cada colapso reduz em uma unidade o número de células. Logo, são efetuados  $n'-1$  colapsos sendo criadas exatamente  $n'-1$  macro-células. Isto implica em um histórico de complexidade  $O(n')$ .

---

<sup>9</sup> A prova completa da complexidade deste tipo de algoritmo guloso pode ser encontrada em [Garland99].



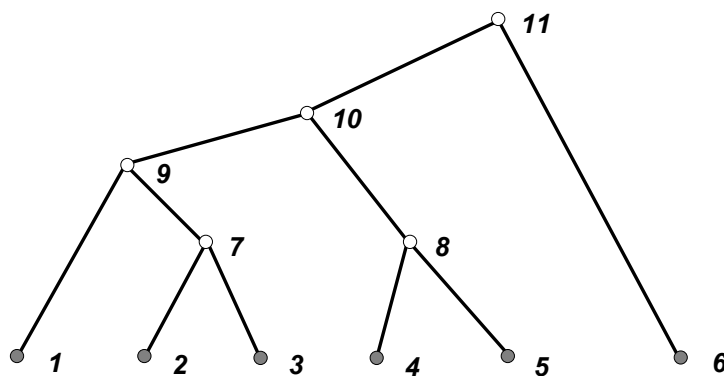
**Figura 4.6 - Algoritmo incremental.** O algoritmo inicia a partir de  $E_0$  e, a cada passo, extrai do *heap* e efetua o colapso de menor custo (em azul) criando uma nova célula (em branco) no grafo de adjacência. Além disso, atualiza a estrela do novo nó (em vermelho).



### 4.1.3 Hierarquia

O histórico gerado pelo algoritmo incremental apenas codifica de forma sequencial as operações de colapso, criando dependências cronológicas entre elas. Entretanto, através da análise de interferência das operações entre si, podem-se identificar operações independentes passíveis de serem efetuadas simultaneamente.

A exemplo da hierarquia de vértices [Hop97, Lue97, Xia96], pode-se construir em tempo  $O(n^*)$ , diretamente a partir do histórico de operações, uma estrutura que codifica a série de colapsos e suas dependências. A estrutura resultante é uma árvore binária (Figura 4.7) que, assim como a hierarquia de vértices, é apropriada para a extração de modelos adaptativos em tempo real. Cada nó da árvore corresponde a uma célula e dois arcos irmãos a uma operação de colapso.



**Figura 4.7 - Estrutura da hierarquia de células. As folhas correspondem às células do modelo original. Os nós internos correspondem às macro-células.**

Na verdade, a hierarquia pode ser construída durante a execução do algoritmo incremental sem a necessidade de existir explicitamente um histórico. Para isto, é necessário gerenciar uma **floresta** de hierarquias de células. A floresta inicial é formada por tantas árvores quantas forem as células ativas do reservatório. Cada árvore, nesta etapa inicial, é formada por um único nó. Durante o laço de repetição, quando um colapso é efetuado, duas árvores são fundidas. Ao final do laço de repetição, quando não existirem mais colapsos,  $\mathcal{A}$  será formado por apenas um nó e a floresta será composta por somente uma árvore (Figura 4.8).

O pseudo-código abaixo ilustra o algoritmo proposto considerando a hierarquia em vez do histórico:

```

1° passo: constrói o espaço de colapsos eliminando células inativas //O(n)
2° passo: constrói o heap //O(a)
3° passo: constrói a floresta inicial //O(n')
4° passo: enquanto houver colapsos
{
    extrai o menor colapso //O(log a)
    atualiza o grafo de vizinhança //O(g)
    atualiza o heap //O(g log a)
    atualiza a floresta //O(1)
}

```

A complexidade final do algoritmo continua sendo  $O(n' \log n')$ , apesar da alteração da complexidade do terceiro passo.

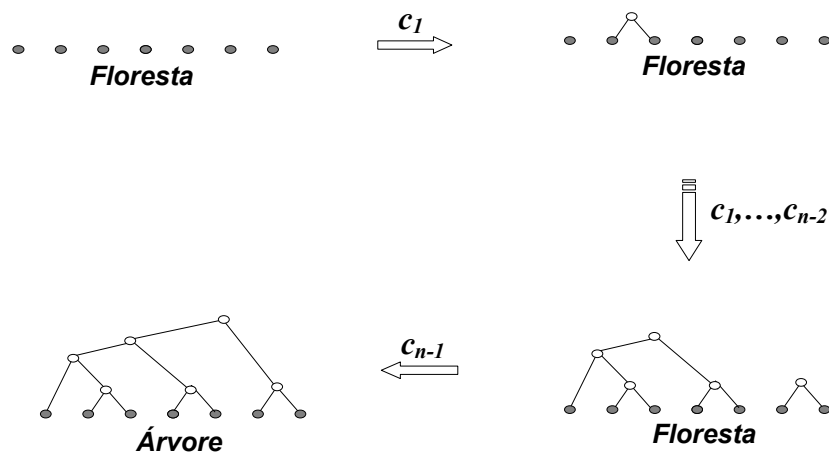


Figura 4.8 - Construção da hierarquia a cada iteração do algoritmo.

## 4.2 Características da Operação de Colapso

Tipicamente, a eficiência das operações incrementais é decisiva para o bom desempenho dos algoritmos gulosos de multi-resolução, pois elas realizam cálculos computacionalmente custosos [Gar99] que definem qual deve ser a nova geometria ótima que minimiza o erro segundo alguma norma pré-estabelecida. Como, na

maioria das vezes, a solução ótima é computacionalmente muito cara, heurísticas ou aproximações passam a ser utilizadas. Nessas heurísticas existe, geralmente, uma relação inversa entre tempo de processamento e qualidade do resultado obtido, ou seja, cálculos mais exatos, que produzem melhores resultados, são normalmente mais custosos.

#### 4.2.1 Geometria e Valor de Propriedade

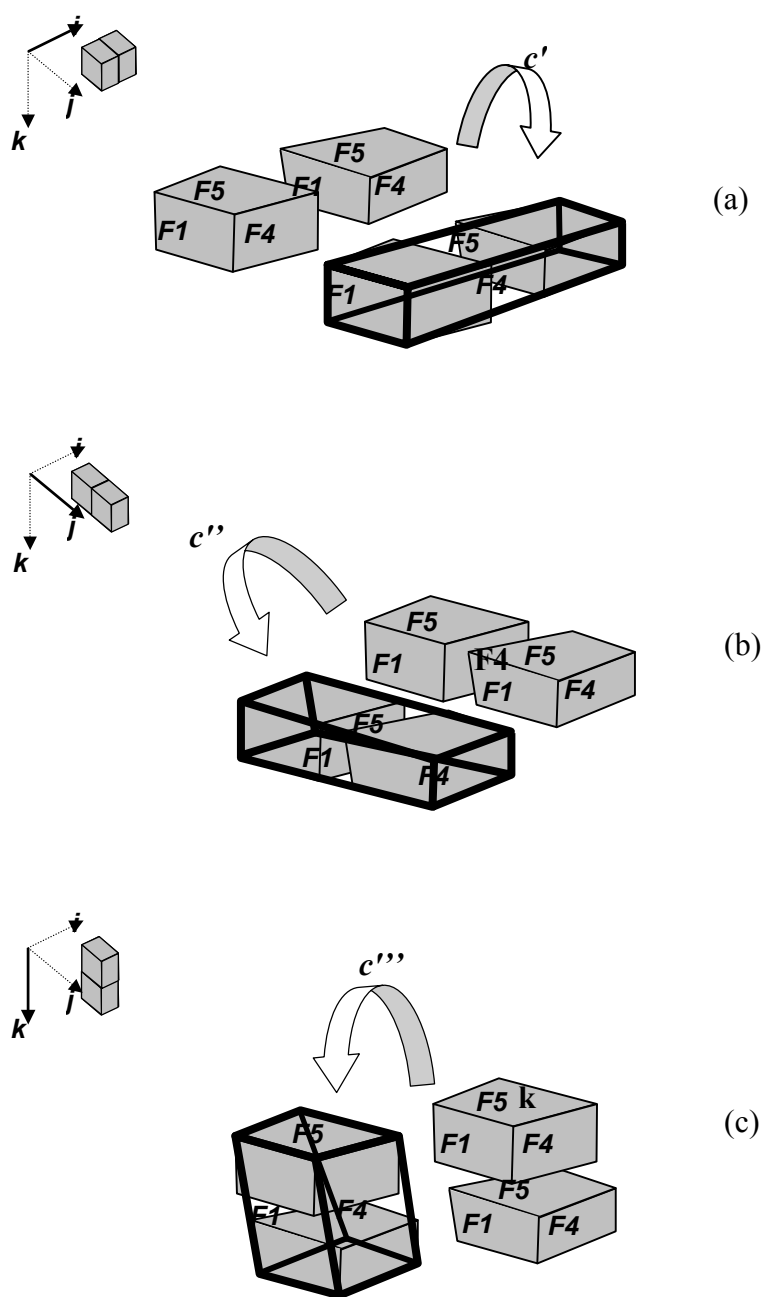
Visando alcançar uma boa eficiência computacional, a operação de colapso utiliza a vizinhança entre as células para calcular uma alternativa viável à macro-célula ótima. Isto é feito através da definição de três padrões fixos de colapso para o cálculo da macro-célula, um para cada direção  $I$ ,  $J$  e  $K$  da vizinhança entre células (Figura 4.9). Ou seja, se células são vizinhas em  $I$ , por exemplo, é aplicado o padrão correspondente a  $I$ . Os padrões são definidos através dos rótulos das faces (veja a Seção 3.2).

Para manter a estrutura de dados compacta, o colapso não gera novos vértices, aproveitando os vértices originais da malha de simulação. Portanto, a malha de multi-resolução tem o mesmo número de vértices da malha original. A Figura 4.9 ilustra o processo de formação da macro-célula nas 3 direções  $I$ ,  $J$  e  $K$ . Neste processo, as faces extremas do intervalo  $I$  (ou  $J$  ou  $K$ ) são preservadas e as quatro novas faces da macro-célula são obtidas unindo-se as arestas correspondentes.

Neste momento, é importante ressaltar que há mais uma dimensão a ser levada em consideração pela operação de colapso: a propriedade das células definida em  $\mathfrak{R}$ . Assim, dada uma propriedade  $i_k$ , o valor da propriedade da macro-célula,  $c$ , adotado neste trabalho, é a média ponderada dos valores de propriedade das células de entrada,  $a$  e  $b$ , em relação ao seus volumes:

$$i_k(c) = \frac{i_k(a) \cdot v(a) + i_k(b) \cdot v(b)}{v(a) + v(b)}, \quad (4.1)$$

onde  $i_k(a)$  e  $i_k(b)$  são os valores da  $k$ -ésima propriedade nas células  $a$  e  $b$  e  $v(a)$  e  $v(b)$  são os volumes das células  $a$  e  $b$ .



**Figura 4.9 - Padrões para o cálculo da macro-célula baseado na vizinhança do espaço paramétrico. Em (a), o padrão na direção  $I$ . Em (b), o padrão na direção  $J$ . Em (c), o padrão na direção  $K$ .**

A equação (4.1) visa considerar características perceptuais no cálculo, uma vez que as células de maior volume possivelmente ocupem uma maior área no plano de projeção que forma a imagem.

#### 4.2.2 Erros Geométrico e de Propriedade

Para cada macro-célula candidata a ser formada, é necessário calcular um custo levando-se em conta os erros geométrico e de propriedade. O erro pode ser computado através de alguma média ponderada entre os dois erros citados ou pela priorização de um erro em relação aos outros.

O erro geométrico entre duas células,  $a$  e  $b$ , e uma macro-célula,  $c$ , que as represente pode ser definido por uma norma semelhante à distância de Hausdorff [Pre85]. Ou seja, se  $S$  é o conjunto dos pontos da fronteira de  $a$  e  $b$  e  $T$  é o conjunto dos pontos da fronteira de  $c$ , então o erro,  $\varepsilon_g(c)$ , é definido como sendo:

$$\varepsilon_g(c) = \varepsilon(T, S) = \max(d(s, T), d(t, S)), \quad (4.2)$$

onde  $d(s, T)$  é a distância máxima dos pontos da fronteira de  $S$  para a fronteira de  $T$  e  $d(t, S)$  é a distância máxima dos pontos da fronteira de  $T$  em relação à fronteira de  $S$ . A escolha dos pontos de fronteira, e não do interior das células, baseia-se no interesse pela imagem gerada pela restituição (*rendering*) das faces do modelo. Ou seja, como somente as fronteiras das células são utilizadas na visualização, o algoritmo proposto se concentrou na diferença entre elas.

Para aumentar a eficiência do algoritmo proposto e tirar proveito das características especiais do modelo de RNPs, optou-se por aproximar  $d(s, T)$  e  $d(t, S)$  por duas distâncias fáceis de calcular. A primeira é estimada como sendo a maior distância dos vértices de  $S$  até as faces de  $T$  e a segunda como sendo a distância entre os vértices de  $S$  que foram eliminados na formação da macro-célula. A Figura 4.10 ilustra estas distâncias com setas em preto e azul, respectivamente. A justificativa para aproximar  $d(t, S)$  por esta distância vem do fato de que, quanto maior for o espaço entre as células (*gap*), maior será a distância dos pontos de  $T$  ao conjunto  $S$ .

O erro de propriedade da macro-célula na propriedade  $i_k$  é dado pela função  $\varepsilon_{i_k}(T, S)$ , que na sua forma reduzida é:

$$\varepsilon_{i_k}(c) = \max\{|i_k(a) - i_k(c)|, |i_k(b) - i_k(c)|\}, \quad (4.3)$$

Para considerar  $L$  propriedades no cálculo do erro pode-se utilizar a equação:

$$\varepsilon_i(c) = \frac{1}{L} \sum_{l=0}^L \max \{ |i_l(a) - i_l(c)|, |i_l(b) - i_l(c)| \}, \quad (4.4)$$

Tanto o erro geométrico quanto o erro de propriedade respeitam à norma  $L_\infty$  localmente e é importante observar que o valor de propriedade associado à macro-célula na equação (4.1) não minimiza a norma  $L_\infty$  utilizada na equação (4.3).

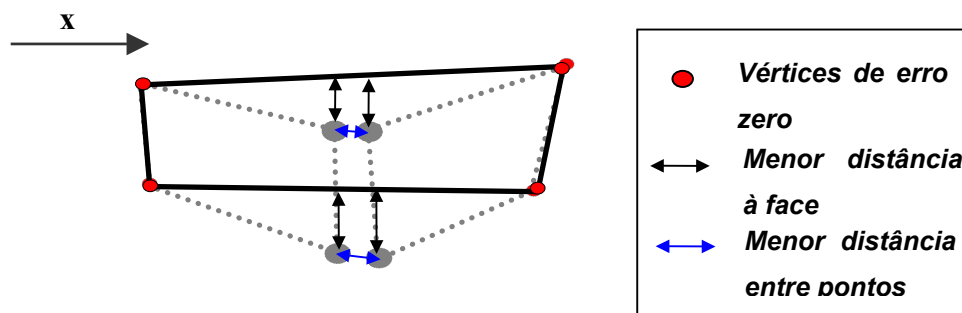


Figura 4.10 - Distâncias consideradas no cálculo do erro geométrico.

### 4.2.3 Tratamento de Múltiplas Propriedades

Uma vez que o modelo de um reservatório comumente possui dezenas de propriedades diferentes associadas, é inviável construir uma estrutura de MR para cada uma delas. Uma alternativa seria utilizar a equação (4.4) no cálculo de erro e considerar todas as propriedades numa única estrutura. Entretanto, além de aumentar o tempo gasto para a construção da hierarquia, esta solução não garante bons resultados.

Neste trabalho, optou-se por considerar apenas o erro geométrico na construção da estrutura MR. Os cálculos referentes às propriedades são feitos por demanda, de acordo com a necessidade de visualização. Percebe-se que estes cálculos não mais afetarão a estrutura da hierarquia, apenas adicionarão novos valores de propriedade e erro aos seus nós.

#### 4.2.4 Propriedade de Ordenação Parcial

Os cálculos do erro geométrico e de propriedade utilizados pela operação de colapso garantem limites de erro segundo a norma  $L_\infty$  apenas entre aproximações do reservatório geradas por cortes na hierarquia que possuam, no máximo, um nível de diferença.

Analisando a versão unidimensional do problema (hierarquia de arestas para linhas poligonais), pode-se perceber as implicações deste fato (Figura 4.11). O erro geométrico  $\varepsilon_g(l_7)$  é o erro real entre  $\{l_7\}$  e  $\{l_5, l_6\}$ . Entretanto, na ilustração, fica evidente que o erro geométrico real entre  $\{l_7\}$  e as folhas  $\{l_1, l_2, l_3, l_4\}$  é maior do que  $\varepsilon_g(l_7)$ . Ou seja, a estrutura de multi-resolução exemplificada é incapaz de garantir um limite de erro em relação ao modelo original.

Isto seria exatamente o que aconteceria com a hierarquia de células se fossem utilizados diretamente os erros da operação de colapso. Refazer os cálculos da operação de forma que eles sejam realizados diretamente sobre o modelo original é demasiadamente custoso e violaria a característica de visualização que requer baixo tempo de pré-processamento (veja a Seção 3.3). Alternativamente, poderia-se pensar em utilizar para o erro de uma macro-célula o maior valor dentre o erro calculado pela operação de colapso e a soma dos erros das células filhas. Assim, sendo  $a$  e  $b$  as células de entrada de um colapso e  $c$  a macro-célula gerada, tem-se:

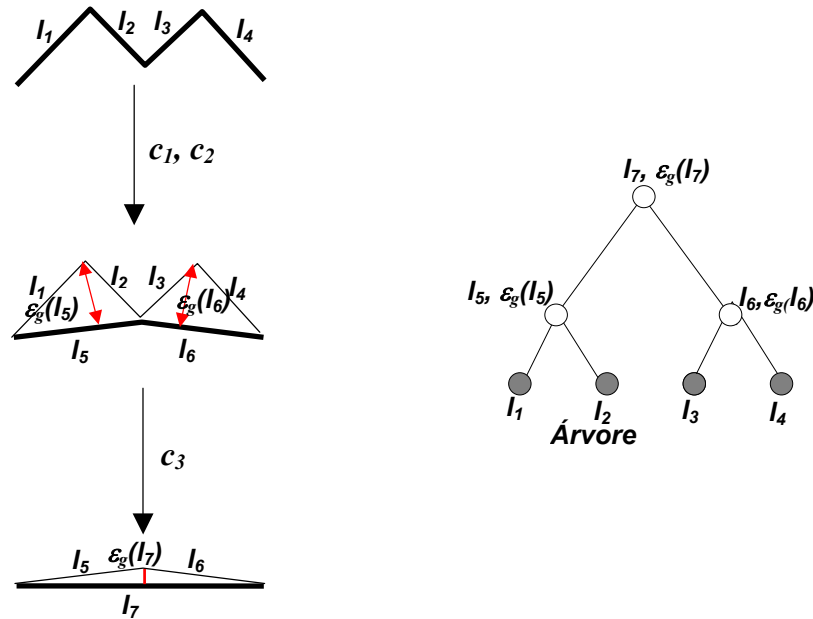
$$\varepsilon'_g(c) = \max\{\varepsilon_g(c), \varepsilon_g(a) + \varepsilon_g(b)\}.$$

Provavelmente, este novo erro seria um limite superior para o erro real. Entretanto, o fato desse valor ser utilizado pelo *heap* para avaliar o custo de um colapso durante a construção da estrutura de MR torna essa super-estimação inadequada, pois colapsos de qualidades distintas poderiam ser classificados (estimados) da mesma forma.

A solução utilizada neste trabalho consiste em considerar o erro como o máximo entre o erro da operação de colapso e os erros das células de entrada da operação:

$$\varepsilon'_g(c) = \max\{\varepsilon_g(c), \varepsilon_g(a), \varepsilon_g(b)\}, \quad (4.5)$$

Esta solução busca uma medição mais realista do erro sem, com isto, aumentar o custo dos cálculos, mas não garante um limite de erro em relação ao modelo original. Espera-se que, no caso de RNPs, a boa coplanaridade entre as células dos reservatórios e o caráter volumétrico da operação de colapso façam com que os resultados sejam satisfatórios.



**Figura 4.11 - Exemplo unidimensional: colapsos de arestas. O erro,  $\varepsilon_g(l_7)$ , associado ao colapso  $c_3$  é menor do que os erros,  $\varepsilon_g(l_5)$  e  $\varepsilon_g(l_6)$ , associados aos colapsos  $c_1$  e  $c_2$ .**

A utilização da equação (4.5) faz com que a estrutura de MR tenha uma propriedade de ordenação parcial decrescente em relação ao erro desejável para estruturas de multi-resolução.

Sejam  $a$  e  $b$  as células de entrada de um colapso e  $c$  a macro-célula gerada, tem-se que:

$$\varepsilon'_g(c) \geq \varepsilon'_g(a) \quad \wedge \quad \varepsilon'_g(c) \geq \varepsilon'_g(b).$$

E, portanto:

*“o erro associado a um nó interno da hierarquia é sempre maior ou igual aos erros associados aos seus nós filhos”,*

**P.4.2**



O mesmo raciocínio pode ser aplicado para o caso do erro de propriedade. Assim, tem-se a equação:

$$\varepsilon'_l(c) = \max\{\varepsilon_l(c), \varepsilon_l(a), \varepsilon_l(b)\}, \quad (4.6)$$

Com isso:

$$\varepsilon'_l(c) \geq \varepsilon'_l(a) \quad \wedge \quad \varepsilon'_l(c) \geq \varepsilon'_l(b).$$

E, portanto, levando em consideração uma propriedade específica:

*“o erro de propriedade associado a um nó interno da  
hierarquia é sempre maior ou igual aos erros de propriedade  
associados aos seus nós filhos”.*

**P.4.3**

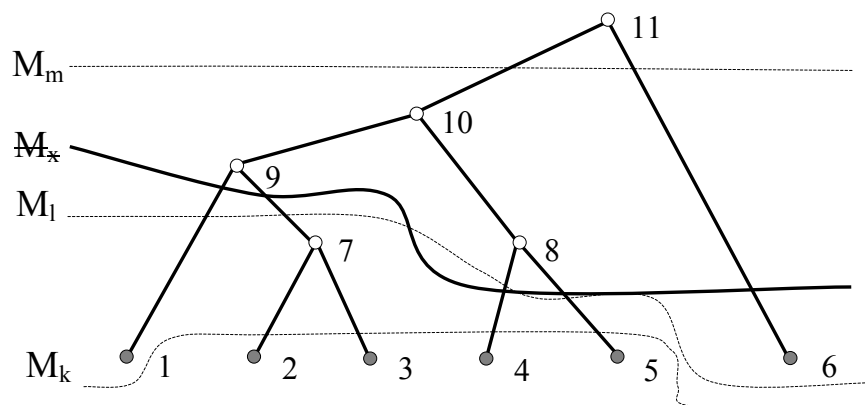
### 4.3 Propriedades de Extração

Em relação à estrutura combinatorial utilizada pelo MMR proposto, é válido fazer algumas observações importantes. Em primeiro lugar, nota-se que qualquer corte na hierarquia de MR gerado por um caminharmento pré-fixado corresponde a uma aproximação do reservatório que abrange todo o seu domínio sem que haja porções do domínio cobertas por mais de uma célula (Figura 4.12). Uma vez que são permitidos modelos não-conformes, o fato anterior constitui a regra básica de extração de modelos do MMR proposto.

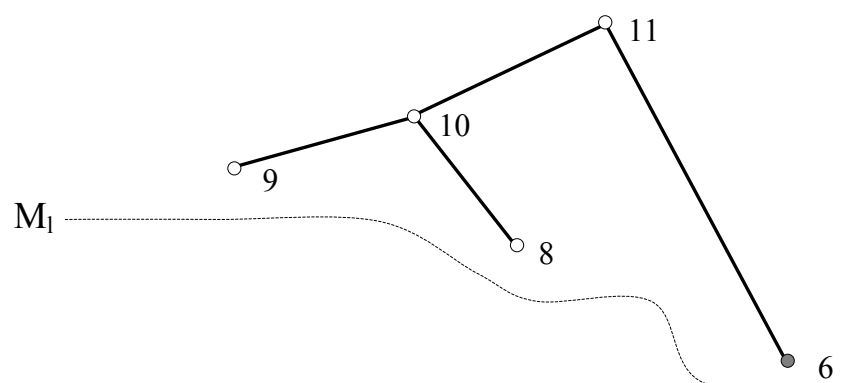
Considerando isso, pode-se atribuir à hierarquia de células algumas propriedades que são bastante desejáveis a estruturas de MR:

- alto poder de expressão – o número possível de aproximações corresponde ao número possível de cortes, que é significativo uma vez que a estrutura é binária, permitindo uma grande variação de resolução ao longo do domínio do reservatório;

- extração ótima proporcional ao tamanho da aproximação – cada corte na árvore está associado a uma sub-árvore, como ilustrado na Figura 4.13. Somente os nós da sub-árvore são visitados pelo caminhamento que gera a aproximação. Uma vez que o número de nós de uma árvore binária é aproximadamente o dobro do seu número de folhas, tem-se que a complexidade de extração é linear em relação ao número de células da aproximação.



**Figura 4.12 – Corte na árvore.** O modelo gerado por um corte corresponde às folhas da sub-árvore que está acima do corte. Os cortes  $M_k$ ,  $M_l$  e  $M_m$  formam três modelos válidos que abrangem todo o domínio do objeto. O corte inválido  $M_x$  apresenta redundância e não pertence ao conjunto dos cortes gerados pelo caminhamento pré-fixado.



**Figura 4.13 – Sub-árvore associada ao corte  $M_l$ .** A árvore é a mesma da Figura 4.12.